

CNC 2012 : Epreuve de Physique 2 MP

Corrigé abrégé:

Magnétostatique dans le vide

111-

$$\text{div}_M \vec{E}(M, t) = \frac{\rho(M, t)}{\epsilon_0} \quad (\text{MG}) ;$$

$$\text{div}_M \vec{B}(M, t) = 0 \quad (\text{M}\Phi);$$

$$\vec{\text{rot}}_M \vec{B}(M, t) = \mu_0 \vec{j}(M, t) + \mu_0 \epsilon_0 \frac{\partial \vec{E}(M, t)}{\partial t}$$

$$(\text{MA}) ; \vec{\text{rot}}_M \vec{E}(M, t) = - \frac{\partial \vec{B}(M, t)}{\partial t} \quad (\text{MF}).$$

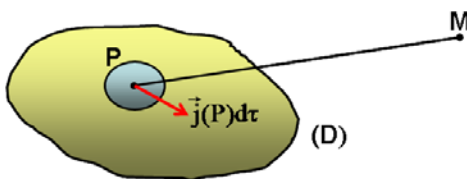
112-

$$\text{div}_M \vec{E}(M) = \frac{\rho(M)}{\epsilon_0} ; \text{div}_M \vec{B}(M) = 0 ;$$

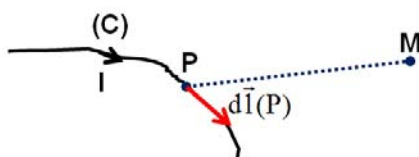
$$\vec{\text{rot}}_M \vec{B}(M) = \mu_0 \vec{j}(M) ; \vec{\text{rot}}_M \vec{E}(M) = \vec{0} .$$

121-

$$\vec{B}(M) = \iiint_D \frac{\mu_0}{4\pi} \frac{\vec{j}(P) d\tau \wedge \overrightarrow{PM}}{PM^3}$$



$$\vec{B}(M) = \frac{\mu_0 I}{4\pi} \int_C \frac{d\vec{l}(P) \wedge \overrightarrow{PM}}{PM^3}$$



122-

$\vec{B}(M)$ est normale au plan de symétrie.

123-

$\vec{B}(M)$ est contenue dans le plan d'antisymétrie.

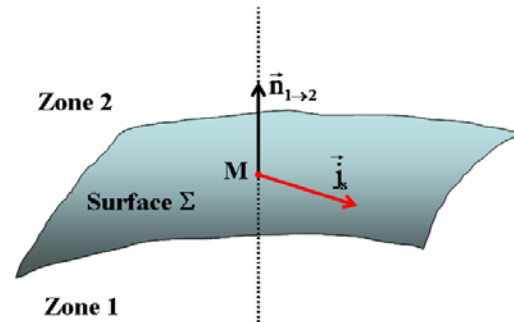
131-

Le flux magnétique est conservatif.

$$\oint_{\text{Sfermée}} \vec{B} \cdot d\vec{S} = 0$$

132-

$$\oint_{\text{Sfermée}} \vec{B} \cdot d\vec{S} = 0 \rightarrow \vec{B}_{2N}(M) - \vec{B}_{1N}(M) = 0 .$$



133-

Les monopoles magnétiques n'existent pas
→ les lignes du champ magnétique sont fermées.

141-

$$\vec{\text{rot}}_M \vec{B}(M) = \mu_0 \vec{j}(M) \text{ et théorème de}$$

$$\text{Stokes} \rightarrow \oint_{\text{contour fermé}} \vec{B} \cdot d\vec{l} = \mu_0 I_{\text{enlacé} \rightarrow \text{contour}} .$$

Il suffit d'ajouter au courant matériel I, le courant de déplacement .

142-

$$\oint_{\text{contour fermé}} \vec{B} \cdot d\vec{l} = \mu_0 I_{\text{enlacé} \rightarrow \text{contour}} \rightarrow$$

$$\vec{B}_{2T}(M) - \vec{B}_{1T}(M) = \mu_0 \vec{j}_s(M) \wedge \vec{n}_{2 \rightarrow 1} .$$

151-

$$\vec{B}(M) = \vec{\text{rot}}_M \wedge \vec{A}(M)$$

152-

En coordonnées cylindriques et pour

$$\vec{M} = M \vec{u}_z ; \text{ on a : } \vec{A} = \frac{\mu_0 M r}{4\pi(r^2 + z^2)^{3/2}} \vec{u}_\theta \rightarrow$$

$$B_r = \frac{3\mu_0 M z r}{4\pi(r^2 + z^2)^{5/2}} ; B_\theta = 0 \text{ et}$$

$$B_z = \frac{\mu_0 M (3r^2 - 2z^2)}{4\pi(r^2 + z^2)^{5/2}} .$$

Chute d'un aimant : induction

211-

$$\vec{A} = \frac{\mu_0 M a}{4\pi(a^2 + (z - z_A)^2)^{3/2}} \vec{u}_\theta .$$

z_A dépend du temps, car l'aimant est en chute
→ \vec{A} dépend du temps.



$$\eta_{\text{rev}} = 1 - \frac{T_2}{T_1}.$$

131-

Sur un cycle, on a : $S_c + \frac{Q_1}{T_1} + \frac{Q_2}{T_2} = 0 \rightarrow$.

$$S_c = -\frac{Q_1}{T_1} - \frac{Q_2}{T_2}.$$

132-

• En tenant compte de $W + Q_1 + Q_2 = 0 \rightarrow$

$$\eta_{\text{irrev}} = 1 - \frac{T_2}{T_1} - \frac{S_c}{Q_1} T_1 = \eta_{\text{rev}} - \frac{S_c}{Q_1} T_1 ;$$

• $\eta_{\text{irrev}} < \eta_{\text{rev}} < 1$.

Etude d'un moteur à combustion interne

211-

$$n_A = \frac{P_A V_A}{RT_A} = 0,02 \text{ mol.}$$

212-

La transformation $A \rightarrow B_S$ est isentropique ;

donc : $V_A^{\gamma-1} T_A = V_B^{\gamma-1} T_{BS} \rightarrow$

$$T_{BS} = T_A \left(\frac{V_A}{V_B} \right)^{\gamma-1} = T_A r^{\gamma-1}.$$

213-

$$r_{\text{max}} = \left(\frac{T_{BS, \text{max}}}{T_A} \right)^{\frac{1}{\gamma-1}} = 5,7.$$

221-

Les transformations $A \rightarrow B_S$ et $C \rightarrow D_S$ sont isentropiques ; donc : $V_A^{\gamma-1} T_A = V_B^{\gamma-1} T_{BS}$ (1)

et $V_B^{\gamma-1} T_C = V_A^{\gamma-1} T_{DS}$ (2). Le produit

$$(1) \times (2) \rightarrow T_A T_C = T_{BS} T_{DS}.$$

222-

$$\eta_c = \frac{T_{BS} - T_A}{T_B - T_A} \rightarrow$$

$$T_B = T_A \left(1 + \frac{1}{\eta_c} \left(\frac{T_{BS}}{T_A} - 1 \right) \right) \text{ et (1) } \rightarrow$$

$$T_B = T_A \left(1 + \frac{1}{\eta_c} (r^{\gamma-1} - 1) \right).$$

2231-

La transformation $B \rightarrow C$ est isochore,

donc : $\Delta_{BC} U = Q_{BC} \rightarrow$

$$Q_{BC} = n_A C_V (T_C - T_B).$$

2232-

$$Q_{BC} = n P_{\text{cal}} \text{ et } Q_{BC} = n_A C_V (T_C - T_B) \rightarrow$$

$$T_C = T_B + \frac{n P_{\text{cal}}}{n_A C_V}.$$

224-

Même démarche qu'en (222) \rightarrow

$$T_D = T_C \left(1 + \eta_d \left(\frac{1}{r^{\gamma-1}} - 1 \right) \right).$$

225-

$$\text{On a : } C_V = \frac{R}{\gamma - 1} = 20,8 \text{ J.K}^{-1} \cdot \text{mol}^{-1}.$$

$$T_B = 585 \text{ K. ; } T_C = 9470 \text{ K. et } T_D = 5199 \text{ K.}$$

226-

$$\bullet P_C = \frac{n_A R T_C}{V_B} = \frac{n_A R T_C r}{V_A} = 5,42 \text{ bar.}$$

• $P_C < 50 \text{ bar} \rightarrow$ la contrainte est respectée.

231-

$$P_{f, \text{inst}} = -\mu v^2.$$

232-

Sur un cycle le piston se déplace de 4L (admission + compression + détente +

échappement) sur une durée $\Delta t = \frac{1}{N} \rightarrow$

$$v_m = 4 \text{ NL.}$$

233-

$$P_f = -\mu v_m^2 = -16\mu (\text{NL})^2.$$

241-

Même démarche qu'en (223) \rightarrow

$$Q_{DA} = n_A C_V (T_A - T_D).$$

242-

Sur un cycle, on a :

$$0 = \Delta U = W + W_f + Q_{BC} + Q_{DA} \rightarrow$$

$$W = -Q_{BC} - Q_{DA} - W_f \rightarrow$$

$$W = -n_A C_V (T_C - T_B + T_A - T_D) - \Delta t \times P_f.$$

243-

$$P_m = -\frac{W}{\Delta t} = -NW \rightarrow$$

$$P_m = N n_A C_V (T_C - T_B + T_A - T_D) - 16\mu (\text{NL})^2$$

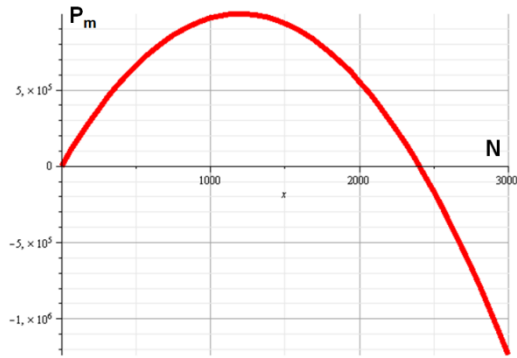
244-

$$\eta = \frac{-W}{Q_{\text{chaude}}} = \frac{-W}{Q_{\text{BC}}} = \frac{P_m}{NQ_{\text{BC}}} \rightarrow$$

$$\eta = \frac{Nn_A C_v (T_C - T_B + T_A - T_D) - 16\mu(NL)^2}{Nn_A C_v (T_C - T_B)}$$

251-

Les A.N. $\rightarrow P_m(N) = (1658N - 0,69N^2)$.



252-

$N_M = 1202 \text{ cycles.s}^{-1}$ et $P_{m,\text{max}} = 996 \text{ kW}$.

253-

$\eta(N) = 0,45 - 1,86 \cdot 10^{-4} N$.

$\eta(N_M) = 0,23$. Le rendement est faible.